

УДК 541.135.2

Г.В. Сокольський^{1,2}, С.В. Іванов¹, О.Б. Величенко³, Н.Д. Іванова⁴, Є.І. Болдирєв⁴

ВОЛЬТАМПЕРОМЕТРІЯ Mn(II) ІОНІВ У ФЛУОРИДНОМУ ЕЛЕКТРОЛІТІ. ВПЛИВ ІОНІВ НАТРІЮ

¹Національний університет харчових технологій, м. Київ, Україна

²Національний авіаційний університет, м. Київ, Україна

³Державний вищий навчальний заклад «Український державний хіміко-технологічний інститут», м. Дніпропетровськ

⁴Інститут загальної та неорганічної хімії ім. В.І. Вернадського НАН України, м. Київ

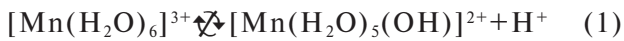
Досліджено процес електрокристалізації манган(IV) оксиду з флуоровмісних електролітів Mn(II) у присутності катіонів натрію та за відсутності інших окрім мангану катіонів металів. Проаналізовано відмінності циклічних вольтамперограм, що зумовлюють особливості фазового складу електроосаджених зразків за даними рентгенографічних досліджень, насамперед щодо збільшення вмісту фазової компоненти голландиту. Пояснено природу додаткового піка прямого ходу ЦВА в присутності Na^+ як результату додаткового шляху анодного процесу за участию катіонів натрію та відновлених поверхневих станів манган(II), що супроводжується утворенням тунельної голландитної фази. Зроблено висновок про можливість впливу хімічної стадії процесу на утворення голландитної фазової компоненти.

Ключові слова: анодне окиснення Mn(II), циклічна вольтамперометрія, катіонний склад електроліту, Na^+ іони, фазовий склад, електрохімічний діоксид мангану (ЕДМ), електрохімічне допування.

Вступ

Оксидні сполуки мангану(IV) виявляють типові особливості, властиві іншим перехідним металам: поліморфізм – термодинамічну стабільність не менше 6 структурних форм за нормальніх умов, різні типи невпорядкованості [1]. Фізико-хімічні закономірності фазоутворення у оксидній системі мангану(IV) мають практичне значення у багатьох хімічних промислових процесах. Слід відмітити використання її представників як прекурсорів катодних матеріалів у літій-іонних акумуляторах (ЛІА), катодних матеріалів у хімічних джерелах струму різних систем на основі водних електролітів [2]. Вони також мають важливе значення у біологічних процесах за участю живих організмів. Одержання манган(IV) оксидів методом анодної електрокристалізації має низку переваг. Вони зумовлені простотою реалізації, можливістю контролю хімічного й фазового складу, невпорядкованості продукту, одержанням плівкових покріттів або порошкових матеріалів з нановластивостями.

Закономірності анодного процесу за участю катіонів Mn(II) інтенсивно досліджують з 50-х рр. ХХ ст. [3]. Механізм анодного окиснення катіонів мангану(II) досліджували переважно у сульфатних електролітах [4]. Встановлено, що кінетика першої стадії на зростаючій поверхні MnO_2 та у кислотному середовищі відповідає окисненню Mn^{2+} з утворенням Mn^{3+} . Перебіг подальших стадій активно обговорюється в літературі. За результатами вольтамперометричного дослідження [5] було зроблено висновок про відмінність механізму електроокиснення мангану(II) у розбавлених і більш концентрованих кислотних розчинах. Шлях процесу у розбавлених кислотних розчинах переважно включає хімічну стадію гідролізу:



з подальшим утворенням та окисненням твердофазних інтермедіатів, таких як $MnOOH$. У більш концентрованих кислотних розчинах переважно реалізується хімічна стадія диспропорціювання.

Нами використано флуоровмісні електроліти електроосадження. На різних оксидніх системах встановлено, що застосування флуоровмісних електролітів перехідних металів дозволяє суттєво підвищувати швидкість електроосадження та цілеспрямовано впливати на властивості одержуваних матеріалів [6]. Висока швидкість електродного процесу за участю мангану(II) зумовлена ефектами міграції, більшою рухливістю аквафлуорокомплексів мангану(II), підтверджено методами електрофорезу та ЕПР [7].

До цього часу опубліковано велику кількість робіт на тему одержання матеріалів оксидної системи мангану(IV) різними методами внаслідок практичної важливості даної проблеми [2,7–9]. Катіони інших металів впливають на фазові рівноваги у оксидній системі мангану(IV). За рахунок широких меж гомогенності у так званих структурах «відкритих» фаз типу голландиту, бірнесіту тощо введення у склад електроліту індиферентних катіонів різної природи є поки що не дуже активно вивченим інструментом стабілізації незвичних для електрокристалізації фазових станів у оксидній системі мангану(IV). Відповідно, такий підхід надає нові можливості одержання функціональних матеріалів, в тому числі із нановластивостями. Ми назвали його електролітичним допуванням, на відміну від звичайної електрокристалізації та методу допування, широко застосованого у синтетичних підходах хімії твердого тіла [10].

Таким чином, встановлення впливу інших, окрім мангану, катіонів у процесі електрокристалізації оксидних фаз мангану(IV) є актуальним завданням. Тому метою даної роботи є вольтамперометричне дослідження процесу електрокристалізації манган(IV) оксиду у присутності катіонів натрію.

Методики експерименту

Склад флуоровмісного електроліту був стандартним [11] для проведення синтезу активних електродних матеріалів: 0,7 моль/л $MnSO_4 \cdot 5H_2O$ “х.ч.” (ГОСТ 435–77); 0,1–0,25 моль/л HF “х.ч.”. Добавки катіонів вводили до складу електроліту у вигляді відповідних сульфатів. Для лужних металів використовували гідроксиди – вихідний електроліт додатково містив 0,1 моль/л $NaOH$ “х.ч.”. Для приготування електролітів використовували бідистильовану воду. Катодами були скловуглецеві пластини, площа яких перевищувала анодну в 10 разів. Підготовка електродів до електролізу включала знежилення віденським вапном ($CaO:MgO=1:10$) та активацію у 0,5 М H_2SO_4 .

Механізм анодної електрокристалізації досліджували методом циклічної вольтамперометрії (ЦВА). Використовували платиновий анод при густині струму 10 А/дм² з флуоровмісних електролітів без нагрівання [11]. Поляризаційні дослідження методом циклічної вольтамперометрії виконані на потенціостаті IPC-Pro в стандартній триелектродній електрохімічній комірці. Електродний потенціал вимірювали відносно насиченого хлоридосрібного електрода порівняння (ХСЕ).

Рентгенографічні дослідження виконували на приладі ДРОН-4 з комп’ютерним інтерфейсом (СуКа-випромінювання). Рентгенофазовий аналіз за методом Рітвельда виконували за до-

помогою програми для комп’ютерної обробки порошкових рентгенограм Powder Cell for Windows v. 2.3. Елементний склад зразків аналізували атомно-абсорбційним методом.

Результати та обговорення

Вигляд ЦВА у розчині електроліту з 0,7 М $MnSO_4$ та 0,2 М HF за швидкості розгортання потенціалу 0,010 В/с наведено на рис. 1. За нашими даними, ЦВА не зазнає суттєвих змін при зміні швидкості сканування потенціалу. Гілка прямого ходу включає один чітко виражений пік близько 1,200 В (тут й надалі відносно хлоридо-срібного електрода порівняння (XCE)). Слабко виражений пік в області вищих анодних потенціалів можна фіксувати при швидкостях розгортання потенціалу $V_i 0,050$ В/с (рис. 2). Незворотний характер процесів окиснення прямого ходу циклічної вольтамперограми підтверджується позицією піків зворотного ходу: спостерігали 3 максимуми струму в області потенціалів близько 0,960, 0,540, та 0,270 В з $\Delta E = E_a - E_k > 0,0577$ В.

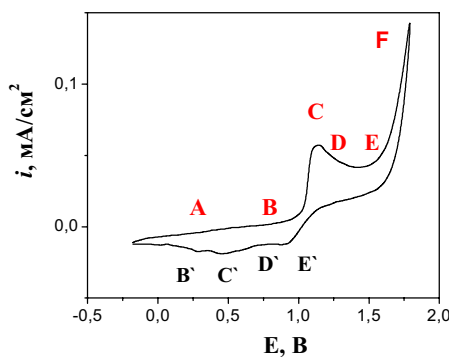


Рис. 1. ЦВА розчину вихідного електроліту (0,7 М $MnSO_4$ та 0,25 М HF); діапазон сканування –0,2–1,8 В, швидкість сканування потенціалу – 0,010 В/с

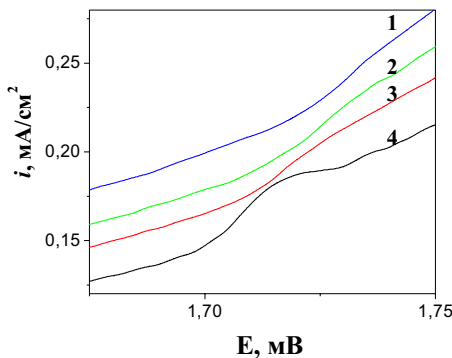
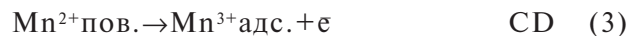


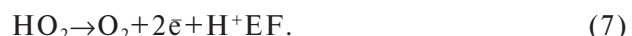
Рис. 2. Ділянка максимальних анодних потенціалів прямого ходу ЦВА з вихідного електроліту мангану(ІІ) сульфату при вищих швидкостях сканування потенціалу 1 – 0,150; 2 – 0,100; 3 – 0,075; 4 – 0,050 В/с

Інтерпретація ділянок прямого ходу (рис. 1) наведено нижче у відповідності до даних роботи [7] з урахуванням [5,12]:



Порівняно із величиною струму першого максимуму (C), струм максимуму ділянки EF є набагато нижчим. Проте саме в області потенціалів другого піка покриття змінює забарвлення від характерного для Mn^{3+} цегляно-червоного-коричневого,rudувато-коричневого до чорного, яке є характерним для мангану(IV) оксиду. Потенціал цього максимуму (1,700 В) нами використаний для одержання плівкового покриття мангану(IV) оксиду потенціостатичним методом. За вищих потенціалів починається інтенсивне виділення кисню вже на поверхні MnO_2 .

На ділянці EF (рис. 1) відбувається формування шару MnO_2 і виділення кисню при потенціалах >1,500 В.



У катодній області ЦВА відбувається стадійне відновлення Mn^{4+} у Mn^{2+} через утворення проміжного продукту $MnOOH$ – ділянка $B'C'D'E'$.

Застосування діагностичних критеріїв методу ЦВА підтверджує наявність хімічних стадій процесу електрокристалізації манган(IV) оксиду в присутності катіонів натрію. Так для струму першого піка прямого ходу зменшення величини $I_n \cdot V^{-1/2}$ в координатах $I_n \cdot V^{-1/2} - V$ (рис. 3) свідчить про наявність наступної хімічної реакції, а також про можливість регенерації реагенту – $Mn(II)$ за схемою:

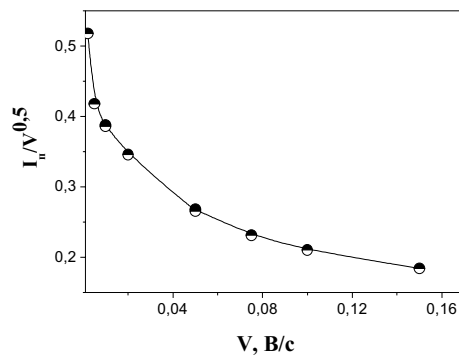


Рис. 3. Графік залежності $I_n \cdot V^{-1/2} - V$ для електроліту з добавкою 0,1 М Na^+

Процес регенерації реагенту підтверджують низькі значення критерію Семерано, що наближається до нуля ($X_s=0,30$). На можливість перебігу наступної хімічної реакції у присутності в електроліті катіонів натрію вказує нелінійність залежностей $I_{\text{на}} - V^{1/2}$, $E_{\text{на}} - \lg V$.

Слід відмітити наявність додаткового розмитого піка більш повільного процесу анодного окиснення Mn(II)/Mn(III) в присутності катіонів натрію (при 1,2–1,4 В), що з'являється після повторного сканування за низьких швидкостей сканування потенціалу (менше 0,020 В/с). Такий вигляд ЦВА збігається з даними [13], одержаними в електроліті, що містив 0,5 М Na_2SO_4 при концентраціях Mn^{2+} вище 0,05 М. Зворотний хід ЦВА-залежності відрізняється двома слабкими максимумами (рис. 4) замість трьох (рис. 1), причому розмитий пік твердофазного відновлення зазнає значного зсуву.

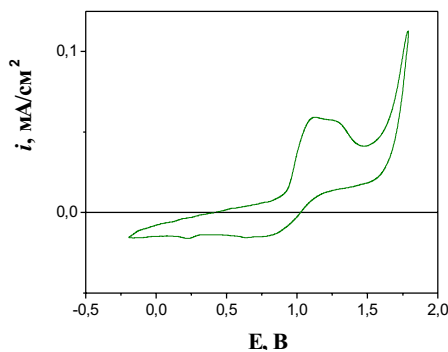
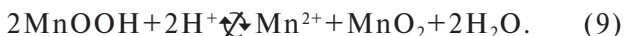


Рис. 4. ЦВА вихідного електроліту із введеним 0,1 М Na^+ -іонів; діапазон сканування – 0,2–1,8 В, швидкість сканування потенціалу – 0,010 В/с

Таким чином, процес електрокристалізації в присутності катіонів натрію в умовах помірно кислотних розчинів відрізняється за механізмом. Ймовірно, внаслідок хімічної стадії диспропорціювання, відбувається регенерація реагенту вже на поверхні зростаючого осаду мangan(IV) оксиду, а утворений Mn^{4+} за іншою хімічною стадією гідролізу швидко трансформується у твердий MnO_2 :



Внесок цієї або іншої хімічної стадії можна збільшувати за рахунок підвищення температури електрокристалізації.

За даними рентгенографічних досліджень зразків оксидів, одержаних у присутності катіонів натрію, вони містять іншу основну фазову компоненту голландиту з ідеальним складом $\text{Na}_2\text{Mn}_8\text{O}_{16}$. Суттєво нижчий вміст натрію (на порядок) у зразках за результатами хімічного аналізу пояснюється стабільністю фази голлан-

диту без тунельних катіонів лужних металів. За відсутності інших окрім манганду катіонів металів в електроліті електрокристалізації зразки містять напіваморфну фазу рамсделіту (g-MnO_2). Враховуючи дані рентгенографічних досліджень, можна припустити, що додатковий пік прямого ходу ЦВА в присутності катіонів натрію та зміни залежності зворотного ходу (рис. 1, 4) зумовлені вторинним шляхом анодного процесу за участю станів мangan(II) поверхневого шару твердої фази оксиду внаслідок утворення тунельної голландитної фази, стабілізованої катіонами натрію.

Висновки

Досліджено процес електрокристалізації мangan(IV) оксиду з флуоромісних електролітів за відсутності інших катіонів та у присутності іонів натрію. Проаналізовано відмінності у механізмі електрокристалізації та у вигляді ЦВА, що можуть зумовлювати особливості фазового складу зразків, насамперед збільшення вмісту голландитної фазової компоненти. Зроблено висновок про можливість впливу хімічної стадії на цей результат.

СПИСОК ЛІТЕРАТУРИ

1. Кондрашев Ю.Д., Заславский А.И. Структура модификаций двуокиси марганца // Изв. Акад. наук СССР. – Сер. физич. – 1951. – Т.XV. – № 2. – С.179-186.
2. Peng B., Chen J. Functional materials with high-efficiency energy storage and conversion for batteries and fuel cells // Coord. Chem. Rev. 2009. – Vol.253. – P.2805-813.
3. Vetter K.J. and Manecke K.J. The regulating mechanism of the MnIII/MnII oxidation-reduction potential. Z. Physik. Chem. – 1950. – Vol.195. – P.270-280.
4. Калиновский Е.А., Шембель Е.М., Стендер В.В. Анодный процесс на титан-двуокисномарганцевом электроде при электролизе растворов соляной кислоты // Журн. прикл. химии. – 1972. – Т.45. – № 2. – С.810-814.
5. Colin J. Clarke, Gregory J., Browning and Scott W. Donne. An RDE and RRDE study into the electrodeposition of manganese dioxide // Electrochim. Acta. – 2006. – Vol.51. – P.5773-5784.
6. Ivanova N.D. and Ivanov S.V. Bifunctional electrochemical systems // Russ. Chem. Rev. – 1993. – Vol.62. – P.907-918.
7. Макеєва І.С. Механізм та кінетика електроокислення іонів Mn(II) з фторвмісного електроліту: автореф. на соискание степени канд. хім. наук: спец.: 02.00.05 «Електрохімія». – К.: ІЗНХ, 2000. – 16 с.
8. Whittingham M.S. Inorganic nanomaterials for batteries // Dalton Trans. – 2008. – P.5424-431.
9. An electrochemical comparison of manganese dioxide microparticles versus a and b manganese dioxide nanorods: mechanistic and electrocatalytic behavior / Batchelor-McAuley C., Shao L., Wildgoose G.G., Green M.L.H., Compton R.G. // New J. Chem. – 2008. – Vol.32. – P.1195-1203.
10. Електрохімічне допування як метод направленого

синтезу електродних матеріалів для хімічних джерел струму / Г.В. Сокольський, Н.Д. Іванова, С.В. Іванов, Є.І. Болдирев // Вісник ХНУ. – 2005. – № 648. – Сер. Хімія. – Вип. 12(35). – С.58-61.

11. *Получение диоксида марганца из фторсодержащих электролитов* / Н.Д. Іванова, Е.І. Болдирев, І.С. Макеєва, Г.В. Сокольский // Журн. прикл. химии. – 1998. – Т.71. – № 7. – С.1209-1211.

12. *Kinetics of Anodic Formation and Cathodic Reduction of MnO₂ in the Sulfate Electrolyte Solutions* / Tsiklauri O.G., Marsagishvili T.A., Tsursumiya G.S., Kirillov S.A., Dzanashvili D.I. // Russian J. Electrochemistry. – 2008. – Vol. 44. – № 11. – P.1299-1306.

13. *Das D., Sen P., Das K. Mechanism of potentiostatic deposition of MnO₂ and electrochemical characteristics of the deposit in relation to carbohydrate oxidation* // *Electrochim. Acta*. – 2008. – Vol.54. – P.289-295.

Надійшла до редакції 13.01.2015

MANGANESE(II) IONS VOLTAMMETRY IN FLUORIDE ELECTROLYTE. EFFECT OF SODIUM IONS

G.V. Sokolsky ^{a,b}, S.V. Ivanov ^a, A.B. Velichenko ^c, N.D. Ivanova ^d, E.I. Boldyrev ^d

^a National University of Food Technologies, Kyiv, Ukraine

^b National Aviation University, Kyiv, Ukraine

^c Ukrainian State University of Chemical Technology, Dnepropetrovsk, Ukraine

^d Institute of General and Inorganic Chemistry of Ukrainian National Academy of Science, Kyiv, Ukraine

Manganese(IV) oxide electrodeposition process from fluorine-containing electrolytes of Mn (II) are studied in the presence of sodium cations and without them. The differences in cyclic voltammograms (CVA's) are detected and discussed in terms of the phase composition of electrodeposited samples according to the results of X-ray diffraction study. The content of hollandite phase should be taken into account in the first place. The appearance of an additional peak in the forward scan of CVA's in the presence of Na⁺ can be explained as a result of an additional pathway of the anode process involving sodium cations and reduced manganese surface states (i.e. Mn(II)); this pathway being accompanied by the formation of tunnel hollandite phase. We concluded that some chemical steps may affect the formation of hollandite phase component.

Keywords: Mn(II) anode oxidation; cyclic voltammetry; electrolyte cationic composition; Na⁺ ions; phase composition; electrochemical manganese dioxide; electrochemical doping.

REFERENCES

1. Kondrashev Y.D., Zaslavsky A.I. Struktura modyfykatsyy dvuoksy marstantsa [Structure polymorphs of manganese dioxide]. *Izvestiya Akademii Nauk SSSR. Ser. Fiz.*, 1951, vol. 15, no. 2, pp. 179-186. (in Russian).
2. Peng B., Chen J. Functional materials with high-efficiency energy storage and conversion for batteries and fuel cells. *Coord. Chem. Rev.*, 2009, vol. 253, pp. 2805-2813.
3. Vetter K.J., Manecke G. The regulating mechanism of the MnIII/MnII oxidation-reduction potential. *Z. Physik. Chem.*, 1950, vol. 195, pp. 270-280.
4. Kalynovsky E.A., Shembel E.M., Stender V.V. Anodnyi protsess na tytan-dvuokysnomarhantsevom elektrode pry elektrolize rastvorov solyanoi kysloty [Anode process on titanium/manganese dioxide electrode in hydrochloric acid solutions electrolysis]. *Zhurnal Prykladnoy Khimii*, 1972, vol. 45, pp. 810-815. (in Russian).
5. Clarke C.J., Browning G.J., Donne S.W. An RDE and RRDE study into the electrodeposition of manganese dioxide. *Electrochim. Acta*, 2006, vol. 51, pp. 5773-5784.
6. Ivanova N.D., Ivanov S.V. Bifunctional electrochemical systems. *Russ. Chem. Rev.*, 1993, vol. 62, pp. 907-918.
7. Makeyeva I.S., Mekhanizm ta kinetyka elektrookyslennya ioniv Mn(II) z fluoromisnogo elektrolitu [Mechanism and kinetics of Mn(II) ions electrooxidation in fluoride electrolyte]: thesis for the degree of Candidate of Chemical Sciences, Institute of General and Inorganic Chemistry, Kyiv, 2000. (in Ukrainian).
8. Whittingham M.S. Inorganic nanomaterials for batteries. *Dalton Trans.*, 2008, vol. 40, pp. 5424 -5431.
9. Batchelor-McAuley C., Shao L., Wildgoose G.G., Green M.L.H., Compton R.G. An electrochemical comparison of manganese dioxide microparticles versus 6 and b manganese dioxide nanorods: mechanistic and electrocatalytic behavior. *New J. Chem.*, 2008, vol. 32, pp. 1195-1203.
10. Sokolsky G.V., Ivanova N.D., Ivanov S.V., Boldyrev E.A. Elektrokhimichne dopuvannya yak metod napravленого syntezu elektrodnykh materialiv dlya khimichnykh dzerel strumu [Electrochemical doping as directed synthesis technique of electrode materials for power sources]. *Visnyk KHNU, Ser. Khim.*, 2005, vol. 12, no. 35, pp. 58-61. (in Ukrainian).
11. Ivanova N.D., Boldyreva E.I., Makeeva Y.S., Sokolsky G.V. Poluchenye dyoksyda marstantsa iz ftorsoderzhachchikh elektrolytov [Obtaining manganese dioxide from fluoride electrolytes]. *Zhurnal Prykladnoy Khimii*, 1998, vol. 71, no.7, pp. 1209-1211. (in Russian).
12. Tsiklauri O.G., Marsagishvili T.A., Tsursumiya G.S., Kirillov S.A., Dzanashvili D.I. Kinetics of anodic formation and cathodic reduction of MnO₂ in the sulfate electrolyte solutions. *Russ. J. Electrochem.*, 2008, vol. 44, no. 11, pp. 1299-1306.
13. Das D., Sen P., Das K. Mechanism of potentiostatic deposition of MnO₂ and electrochemical characteristics of the deposit in relation to carbohydrate oxidation. *Electrochim. Acta*, 2008, vol. 54, pp. 289-295.